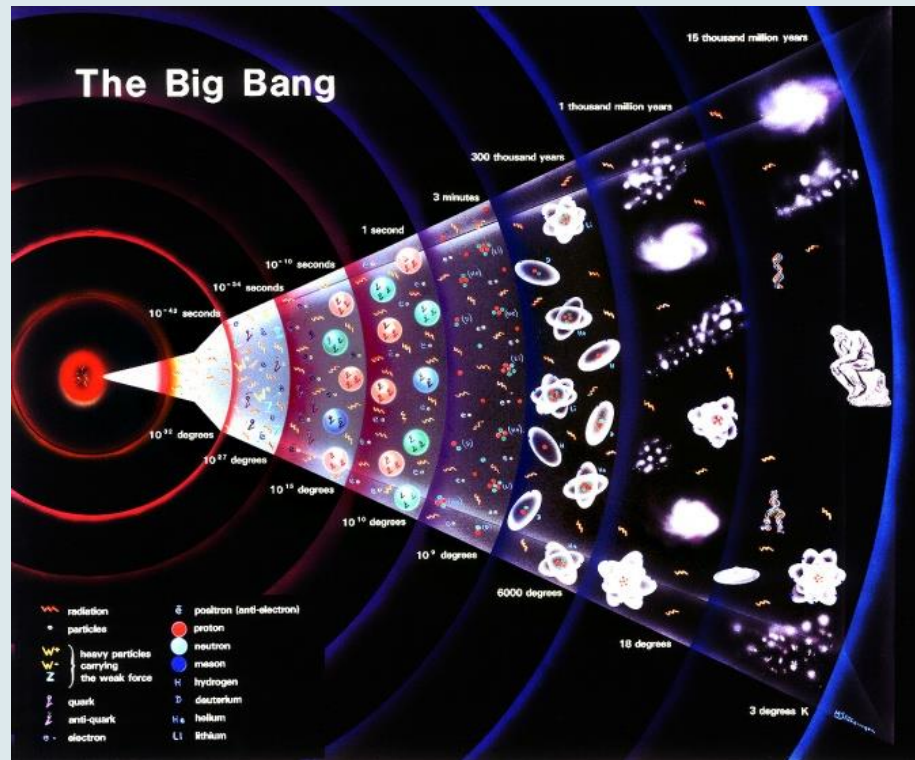
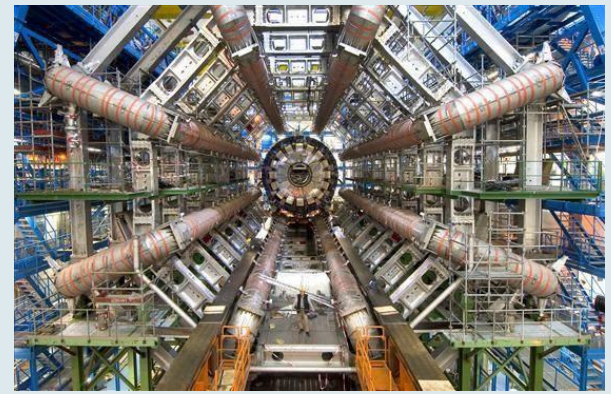


Varför forskar vi om elementarpartiklar?



Large Hadron Collider LHC vid CERN i Genève startades upp 2010



Världens mest högenergetiska protonkrockare
med en kollisionsenergi på $13 \text{ TeV} = 13 \cdot 10^{12} \text{ eV} =$
13 biljoner elektronvolt

Varför hög energi?

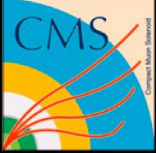
- Enligt kvantmekaniken medger hög energi att man kan studera små detaljer i materien - ju högre energi desto mindre detaljer
- Enligt relativitetsteorin medger hög energi att man kan skapa materiepartiklar - ju högre energi desto massivare partiklar.
- Enligt relativistisk kvantfältteori är vakuum uppfyllt av olika elementarfält ur vilka hittills okända elementarpartiklar kan materialiseras, förutsatt att vi kan åstadkomma en tillräckligt hög energitäthet.

Hur små detaljer har kunnat studeras?

- I LHC accelereras två strålar av protoner i motsatt riktning till en energi motsvarande ca 7000 gånger protonens vilomassa - varefter man bringade strålarna att kollidera.
- Protonen innehåller vardera 3 kvarkar. Den energi som omsätts när två av dessa kvarkar, en i vardera strålen, kollidera är tillräcklig för att studera elementarpartiklarnas struktur ner till 10^{-19} meter = en tiondels miljardels miljarddels millimeter = en tiondels nano-nano-meter.
- Vid dessa mätningar har hittills inte någon utsträckning eller inre struktur hos elementarpartiklarna uppdagats. Om elementarpartiklarna har en utsträckning måste den därför vara mindre än en tiondels nano-nano-meter.

Hur tunga partiklar har kunnat upptäckas?

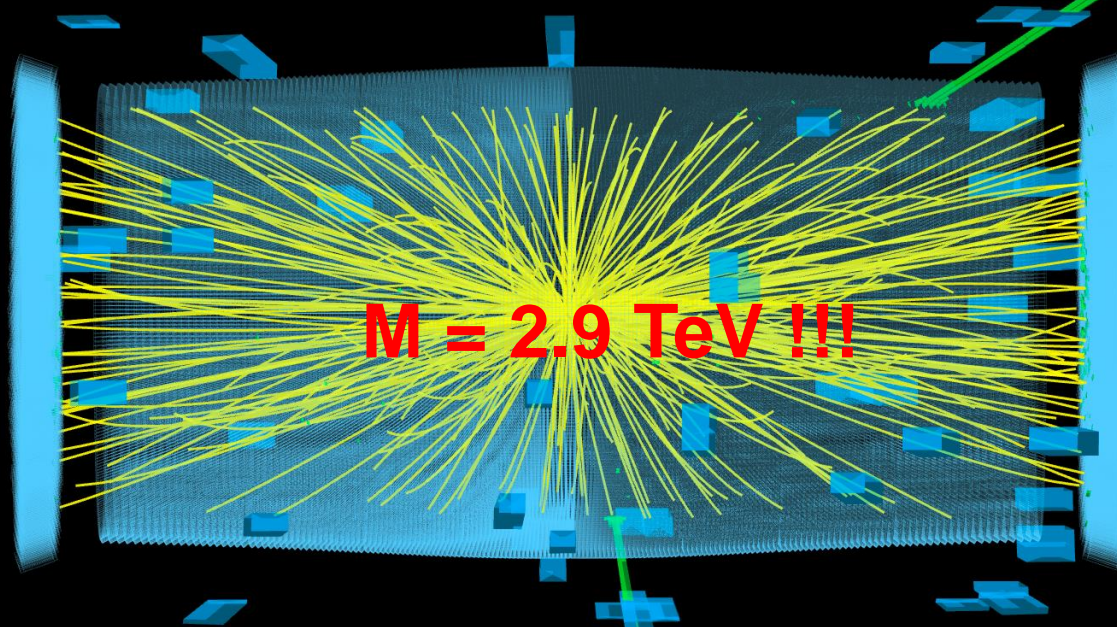
- När två kvarkar kolliderade i LHC omsätts deras kinetiska energi ibland till kollisionsenergi inom en volym av en tiondels nano-nanometers storlek
- Den åstadkomna energitätheten är tillräcklig för att materialsera elementarpartiklar med massor som motsvarar massan hos flera tusen protoner - vid LHC har det varit möjligt att studera många miljontals sådana kollisioner.
- På detta sätt upptäcktes 1995 vid Tevatronen i USA, LHCs föregångare, den hittills tyngsta kända elementarpartikeln, toppkvarken, som har en massa på ca 190 protonmassor. Och 2012 upptäcktes 2012 Higgsbosonen, som har en massa ca 135 protonmassor. Men efter detta har inga nya, tunga partiklar upptäckts trots att det numera skulle vara möjligt att producera partiklar med en massa på flera tusen protonmassor.



CMS Experiment at the LHC, CERN

Data recorded: 2015-Aug-22 02:13:48.861952 GMT

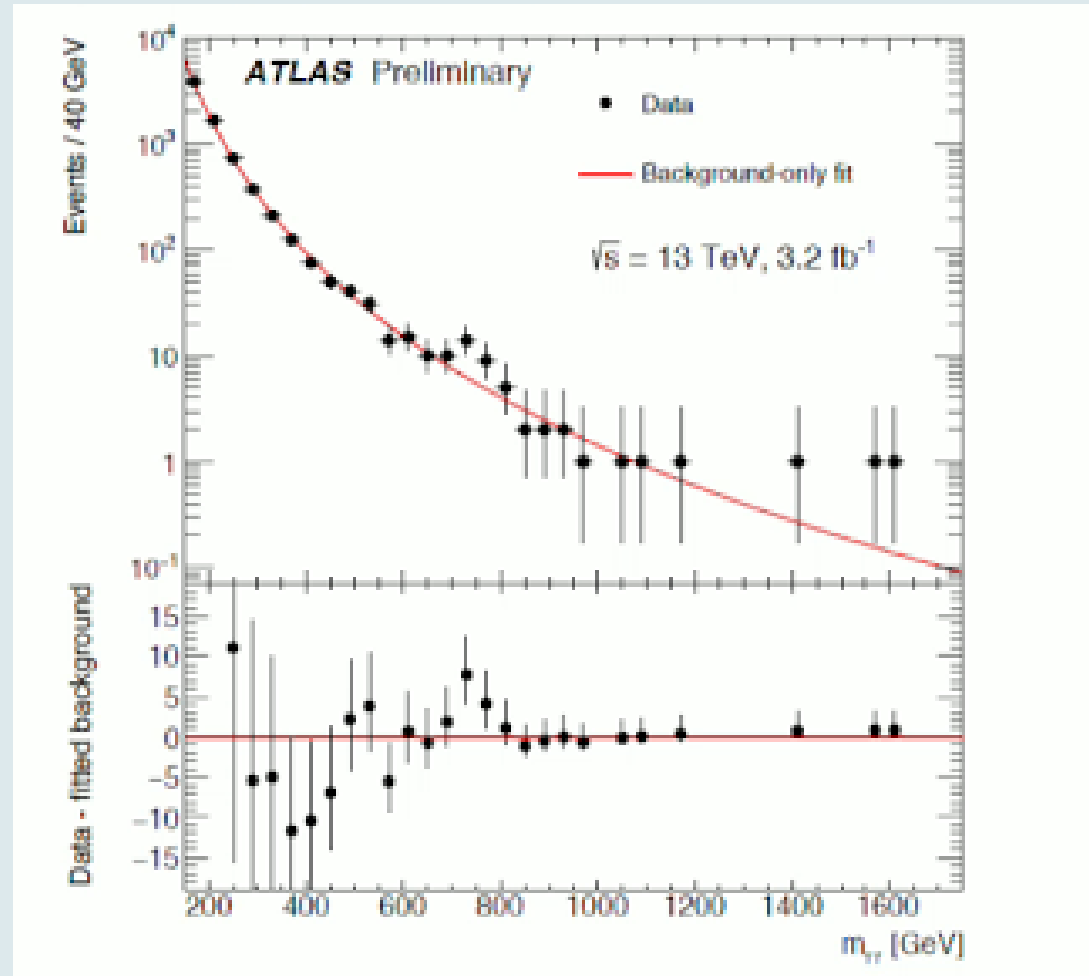
Run / Event / LS: 254833 / 1268846022 / 846



Tuesday, 15 December 2015

A new boson at 750 GeV!

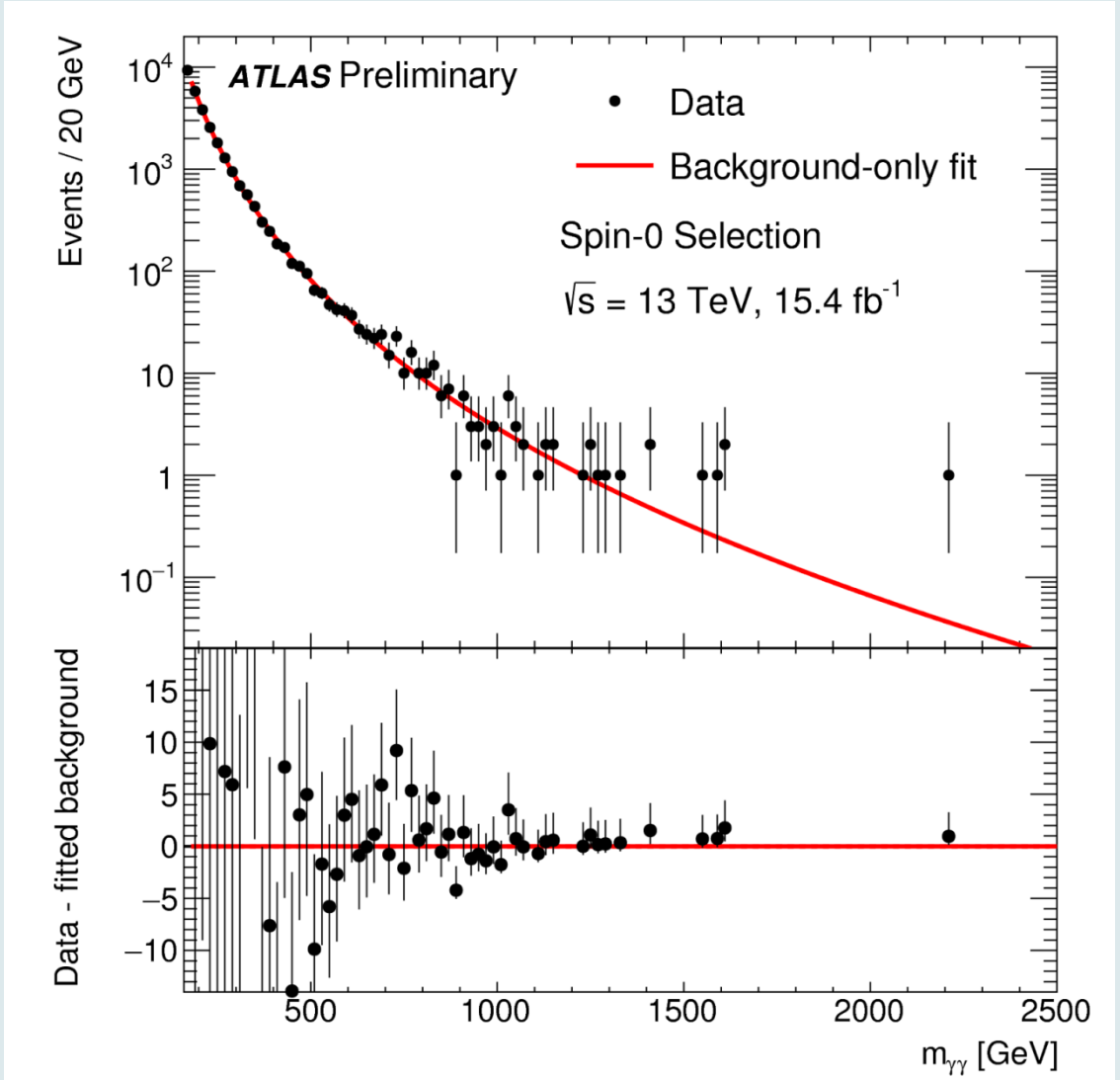
ATLAS and CMS presented today a summary of the first LHC results obtained from proton collisions with 13 TeV center-of-mass energy. The most exciting news was of course the 3.6 sigma bump at 750 GeV in the ATLAS diphoton spectrum, roughly coinciding with a 2.6 sigma excess in CMS.



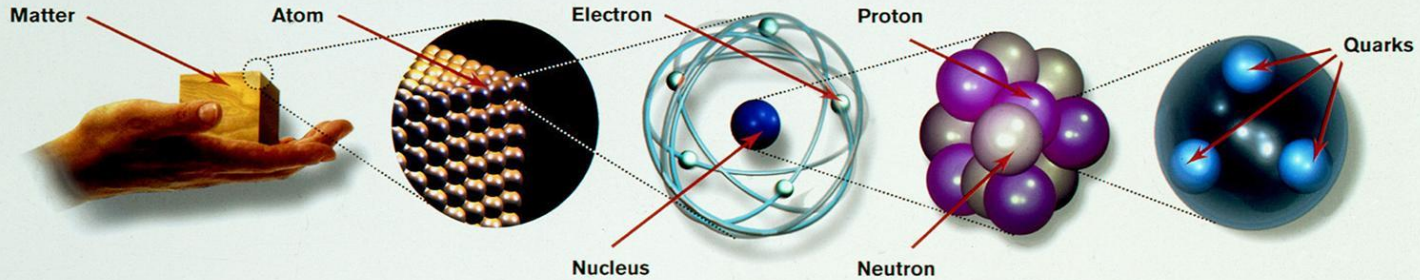
Friday 5 August 2016

No new boson at 750 GeV!

The data is consistent with the Standard Model Background. The global Of the excesses is less than one standard deviation.



Vad har etablerats hittills? Standardmodellen



Matter particles
All ordinary particles belong to this group

These particles existed just after the Big Bang. Now they are found only in cosmic rays and accelerators

LEPTONS													
FIRST FAMILY	<table border="1"> <tr> <td>Electron Responsible for electricity and chemical reactions; it has a charge of -1</td> <td></td> <td>Electron neutrino Particle with no electric charge, and possibly no mass; billions fly through your body every second</td> <td></td> </tr> <tr> <td>Muon A heavier relative of the electron; it lives for two-millionths of a second</td> <td></td> <td>Muon neutrino Created along with muons when some particles decay</td> <td></td> </tr> <tr> <td>Tau Heavier still; it is extremely unstable. It was discovered in 1975</td> <td></td> <td>Tau neutrino not yet discovered but believed to exist</td> <td></td> </tr> </table>	Electron Responsible for electricity and chemical reactions; it has a charge of -1		Electron neutrino Particle with no electric charge, and possibly no mass; billions fly through your body every second		Muon A heavier relative of the electron; it lives for two-millionths of a second		Muon neutrino Created along with muons when some particles decay		Tau Heavier still; it is extremely unstable. It was discovered in 1975		Tau neutrino not yet discovered but believed to exist	
Electron Responsible for electricity and chemical reactions; it has a charge of -1		Electron neutrino Particle with no electric charge, and possibly no mass; billions fly through your body every second											
Muon A heavier relative of the electron; it lives for two-millionths of a second		Muon neutrino Created along with muons when some particles decay											
Tau Heavier still; it is extremely unstable. It was discovered in 1975		Tau neutrino not yet discovered but believed to exist											

QUARKS			
Up Has an electric charge of plus two-thirds; protons contain two, neutrons contain one		Down Has an electric charge of minus one-third; protons contain one, neutrons contain two	
Charm A heavier relative of the up; found in 1974		Strange A heavier relative of the down; found in 1964	
Top Heavier still		Bottom Heavier still; measuring bottom quarks is an important test of electroweak theory	

Force particles
These particles transmit the four fundamental forces of nature although gravitons have so far not been discovered

Gluons
Carriers of the strong force between quarks

Felt by: quarks

The explosive release of nuclear energy is the result of the **strong force**

Photons
Particles that make up light; they carry the electromagnetic force

Felt by: quarks and charged leptons

Electricity, magnetism and chemistry are all the results of **electro-magnetic force**

Intermediate vector bosons
Carriers of the weak force

Felt by: quarks and leptons

Some forms of radio-activity are the result of the **weak force**

Gravitons
Carriers of gravity

Felt by: all particles with mass

All the weight we experience is the result of the **gravitational force**

GRAPHICS: PETER GROWTHER

Higgs-bosonens förutsägelse 1962...

- Kvantfältteorin i sin ursprungliga form (Yang-Mills) förutsätter att kraftpartiklarna är masslösa.
- Den svaga kraftens kraftpartiklar (W^+ , W^- och Z^0) har emellertid befunnits vara mycket massiva.
- Det blev därför nödvändigt att finna ett sätt att tilldela dessa kraftpartiklar - men inte den elektromagnetiska kraftpartikeln (fotonen) - massa.
- Detta kunde åstadkommas genom att införa Higgs-fältet

Higgs
the mystery of mass

What causes particles to have mass? Why do the masses of fundamental particles differ so enormously - the top quark is more than 200,000 times heavier than the electron?

A solution has been developed by several physicists and takes the name of Peter Higgs. According to this, the whole of space is permeated by a field, similar in some ways to the electromagnetic field. As particles move through space they travel through this field. The interaction between the particles and the field is similar to the action of a viscous force felt by a particle moving through a thick liquid. The stronger the interaction of the particles with the Higgs field, the more mass they appear to have.

We know from quantum theory that fields have particles associated with them, so if the Higgs idea is right, there must be a Higgs particle. Finding it is the key to verifying whether our best hypothesis for the origin of mass is indeed correct.

$m \gamma = m_0 \frac{GM}{r^2}$

Newton related 'mass' and 'weight'

$E = m c^2$

Einstein discovered that mass is equivalent to energy.

The Higgs mechanism would explain the origin of mass.

A simulation of the production of a Higgs particle decaying into two photons.

A simulation of the Higgs signal for its decay into two photons (1 year of data taking at the LHC)

Events/500 MeV for 100 fb⁻¹

$H \rightarrow \gamma\gamma$

Higgs signal

$M_{\gamma\gamma}$ (GeV)

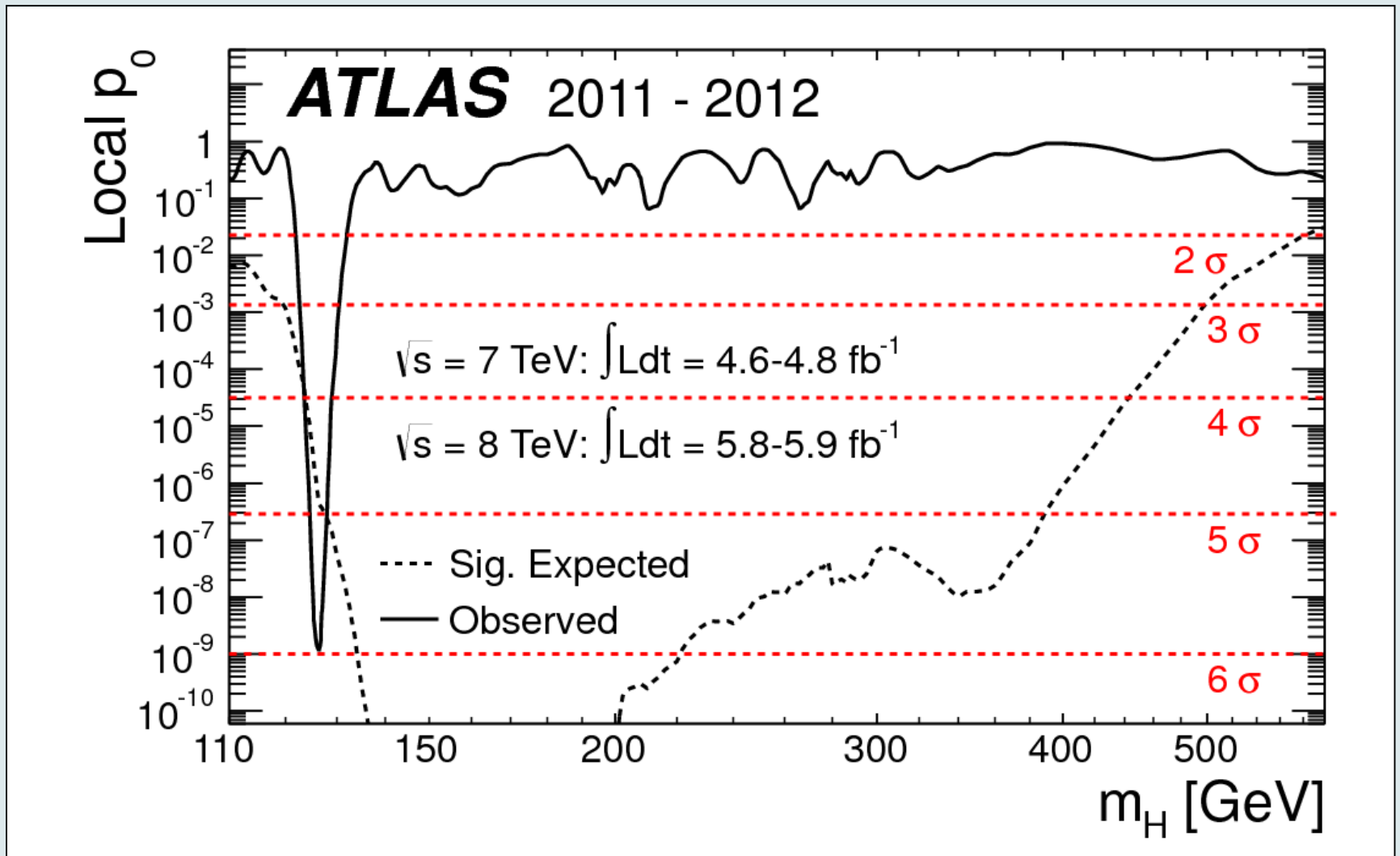
A simulation of the Higgs signal for its decay into four leptons (1 year of data taking at the LHC)

Events / 2 GeV

$H \rightarrow ZZ^* \rightarrow 4\ell$

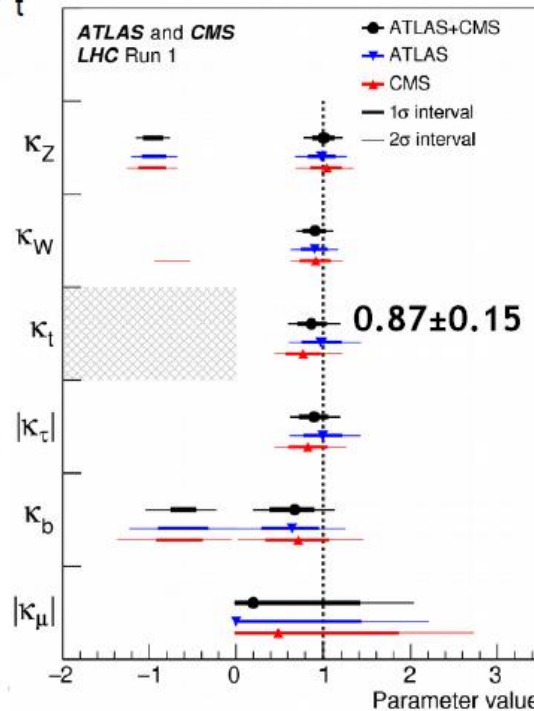
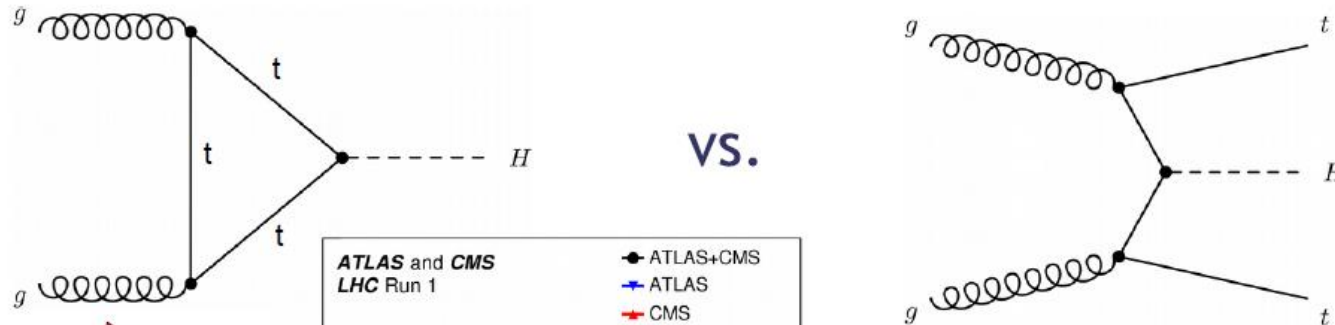
$M_{4\ell}$ (GeV)

...och upptäckt 2012



Latest News ttH coupling

While we were confident of the ttH vertex from the production cross-section, this is model-dependent, and the direct observation was missing



Plot assumes SM loop structures and no BSM decays

JHEP 08 (2016) 045

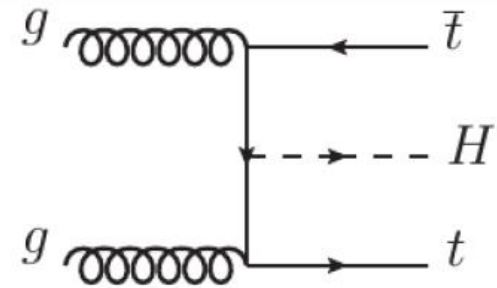
Dave Charlton LHPC2018

15

Latest News $t\bar{t}H$ observation

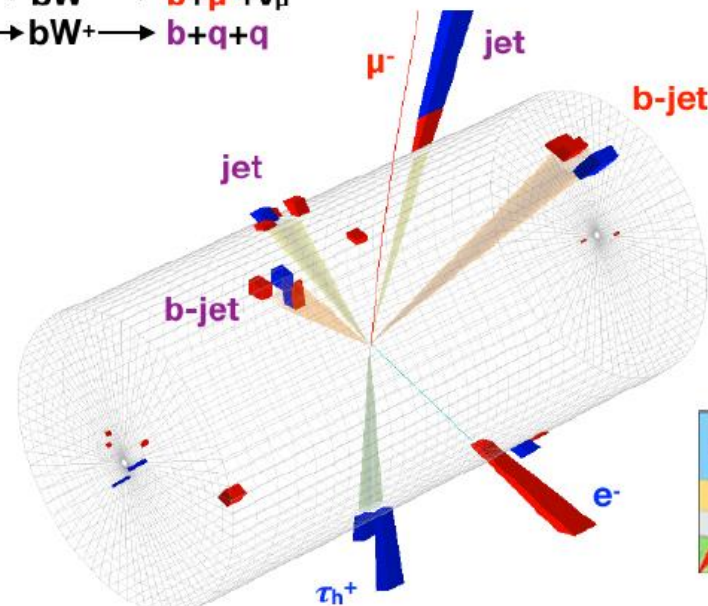
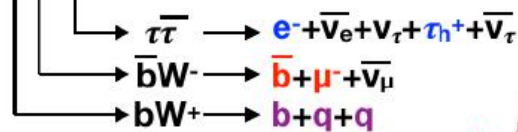
5σ observation of $t\bar{t}H$ from CMS and ATLAS

Very sophisticated analyses, pushing detector performance very far, many channels, MVAs...



**CMS $t\bar{t}H$
candidate
event**

$pp \rightarrow t\bar{t}H$

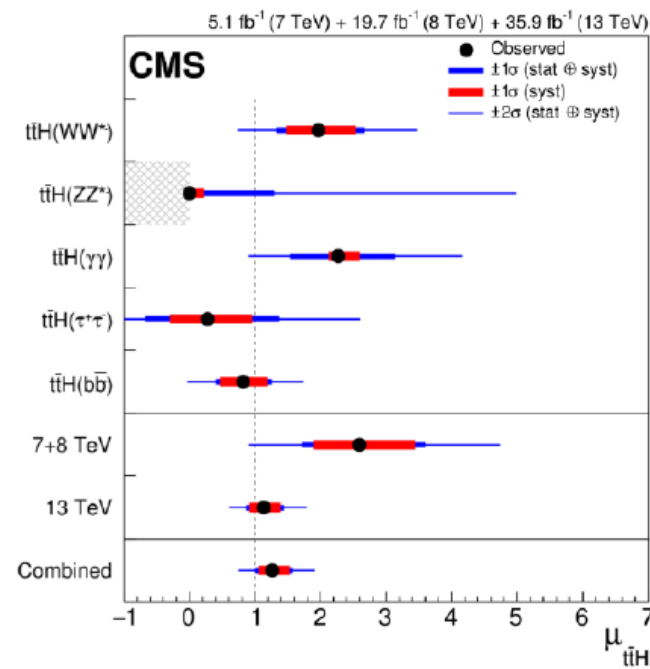
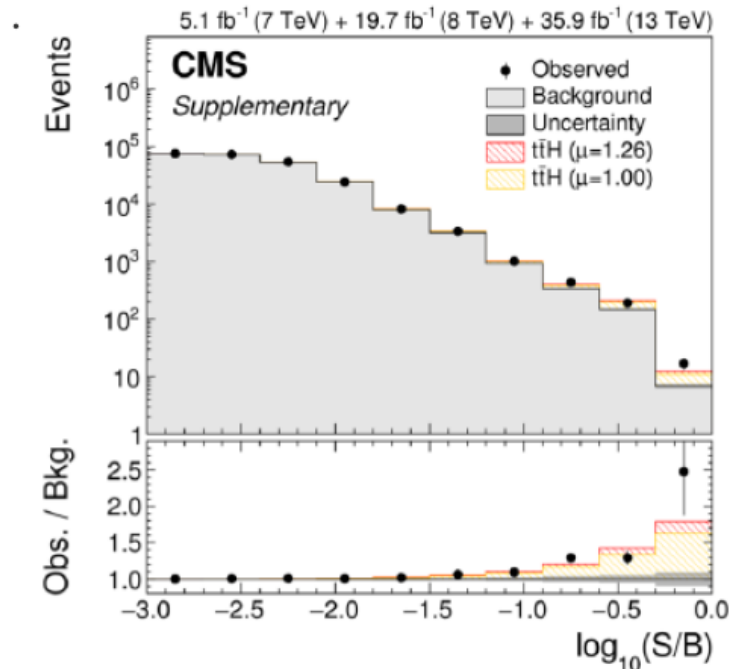
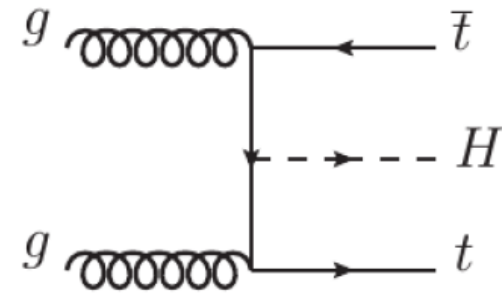


Latest News $t\bar{t}H$ observation

5 σ observation of $t\bar{t}H$ from CMS and ATLAS

Very sophisticated analyses, pushing detector performance very far, many channels, MVAs...

Phys. Rev. Lett. 120, 231801 (2018)



$$\mu_{t\bar{t}H} = 1.26^{+0.31}_{-0.26} = 1.26^{+0.16}_{-0.16}(\text{stat.})^{+0.17}_{-0.15}(\text{exp.})^{+0.14}_{-0.13}(\text{bkg. th.})^{+0.15}_{-0.07}(\text{sig. th.})$$

5.2 σ (4.2 σ exp)

Frågor som inte besvaras av Standardmodellen

- Varför finns det i universum bara materia och ingen antimateria?
- Hur får neutrinerna sin massa?
- Hur kan vi finna förena den elektrosvaga och den starka kraften?
- Vad består den mörka materien av?
- Vår beskrivning av den elektrosvaga och starka kraften bygger på kvantiserade fält i vakuum och vår beskrivning av gravitationen bygger på att rumtiden är krökt - hur kan vi finna en gemensam beskrivning för alla naturens krafter med så skilda utgångspunkter?

Hypoteser: Supersymmetri och Strängar

- Den drivande kraften bakom strävan att finna en generellare beskrivning att ersätta Standardmodellens är frågan om hur gravitationen skall kunna inbegripas.
- I detta syfte postuleras att det finns en ny symmetrier i naturen, supersymmetri, att det finns fler rumsdimensioner än de tre vi känner och att materiens minsta enheter inte är partiklar utan strängar eller membran.

Supersymmetry
the ultimate
hierarchy of matter?

11-dimensional particles?

Supersymmetry

The mystery of the enormous ratio between the electro-weak scale (at 100-300 GeV), defined by the masses of the W and Z particles, and possibly the Higgs particle, and the Planck scale (10¹⁹GeV), when gravitational effects become comparable to the other forces. Known as the hierarchy problem, this is one of the most baffling in modern physics.

The concept of "Supersymmetry", SUSY for short, promises a solution to the hierarchy problem. SUSY enlarges the space-time symmetry of physical laws, by connecting the realms of particles and fields. It predicts a variety of new species of particles at the energy scale around 1 TeV - waiting to be discovered at the LHC.

Dark Matter in the Universe

Is the gravity of these galaxies strong enough to contain the giant ball of glowing hot gas? Studies with the SDSS X-ray satellite have shown that the answer is no. An additional gravitational pull must be exerted by invisible "dark matter" whose nature and composition is one of the biggest enigmas of astrophysics today. Possible candidates for dark matter are the lightest supersymmetric particles, which may be found at the LHC.

A simulation of a SUSY particle event with three top quarks and two jets in the final state. Such a particle could contribute to the dark matter in the Universe.

Charged Higgs

- En av konsekvenserna av antagandet om supesymmetri är att det skulle finnas inte bara neutrala Higgs-bosoner utan även elektriskt laddade sådana
- Ett huvudtema inom Uppsalas CERN-forskning har varit att söka efter laddade Higgsbosoner vid LHC

FOURTH INTERNATIONAL WORKSHOP
cHarged 2012

Prospects for Charged Higgs Discovery at Colliders
Uppsala University, Sweden, 8-11 October 2012

International Scientific Advisory Committee:
Ketei Assamagan (BNL, USA)
Marco Battaglia (CERN, Switzerland)
Olivier Brein (University of Freiburg, Germany)
Johann Collie (University of Grenoble, France)
Dhiman Chakraborty (Northern Illinois University, USA)
Eilam Gross (Weizmann Institute of Science, Israel)
Sven Heinemeyer (University of Cantabria, Spain)
Gudrun Hiller (Technische Universität Dortmund, Germany)
Karl Jakobs (University of Freiburg, Germany)
Shinya Kanemura (University of Toyama, Japan)
Ritva Kinnunen (Helsinki Institute of Physics, Finland)
Chiara Mariotti (INFN Torino, Italy)
Stefano Moretti (University of Southampton, UK)
Alexandre Nikitenko (Imperial College London, UK)
Per Osland (University of Bergen, Norway)
Tilman Plehn (University of Heidelberg, Germany)

Local Organisation Committee:
Richard Brenner, Claus Buszello,
Torst Eskof (co-chair), Mattias Elert,
Rikard Enberg, Inger Ericson (secretary),
Arnaud Ferrari, Charlie Isaksson,
Daniel Pelican, Johan Rathsman (secretary),
Dimitris Worder, Glenn Wouda, Henrik Ohman

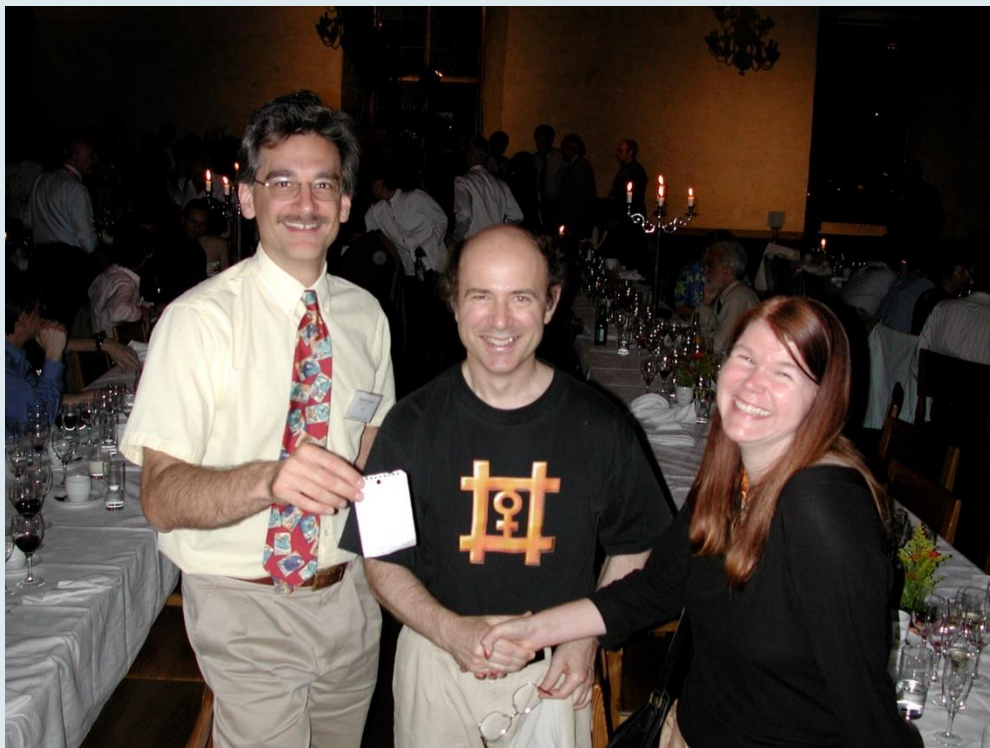
Topics:
• Search strategies, systematics and analysis tools
• Phenomenology and Monte Carlo
• Theory
• We welcome contributed talks

URL: www.grid.tsl.uu.se/chargedhiggs2012 **Email:** chargedhiggs2012@physics.uu.se

Sponsors:

UPPSALA UNIVERSITET

Vadhållning om Higgsbosonen och om Supersymmetri



Wilczek - Conrad 2012 om Higgsbosonen

Uppsala 25 January 2013

Bet: Discovery of
"SU(2) gauginos"
with mass ≤ 10 TeV
by end 2019
to be adjudicated by
Gunnar Ingelman

Yes: 100 Nobel chocolate
coins

Frank Wilczek

No: 100 Nobel chocolate
coins

Tord Ekelöf

Vidi: Gunnar Ingelman
Dean of Physics @ UUU

Wilczek - Ekelöf 2019 om gauginos

SUPERSYMMETRY IN ATLAS

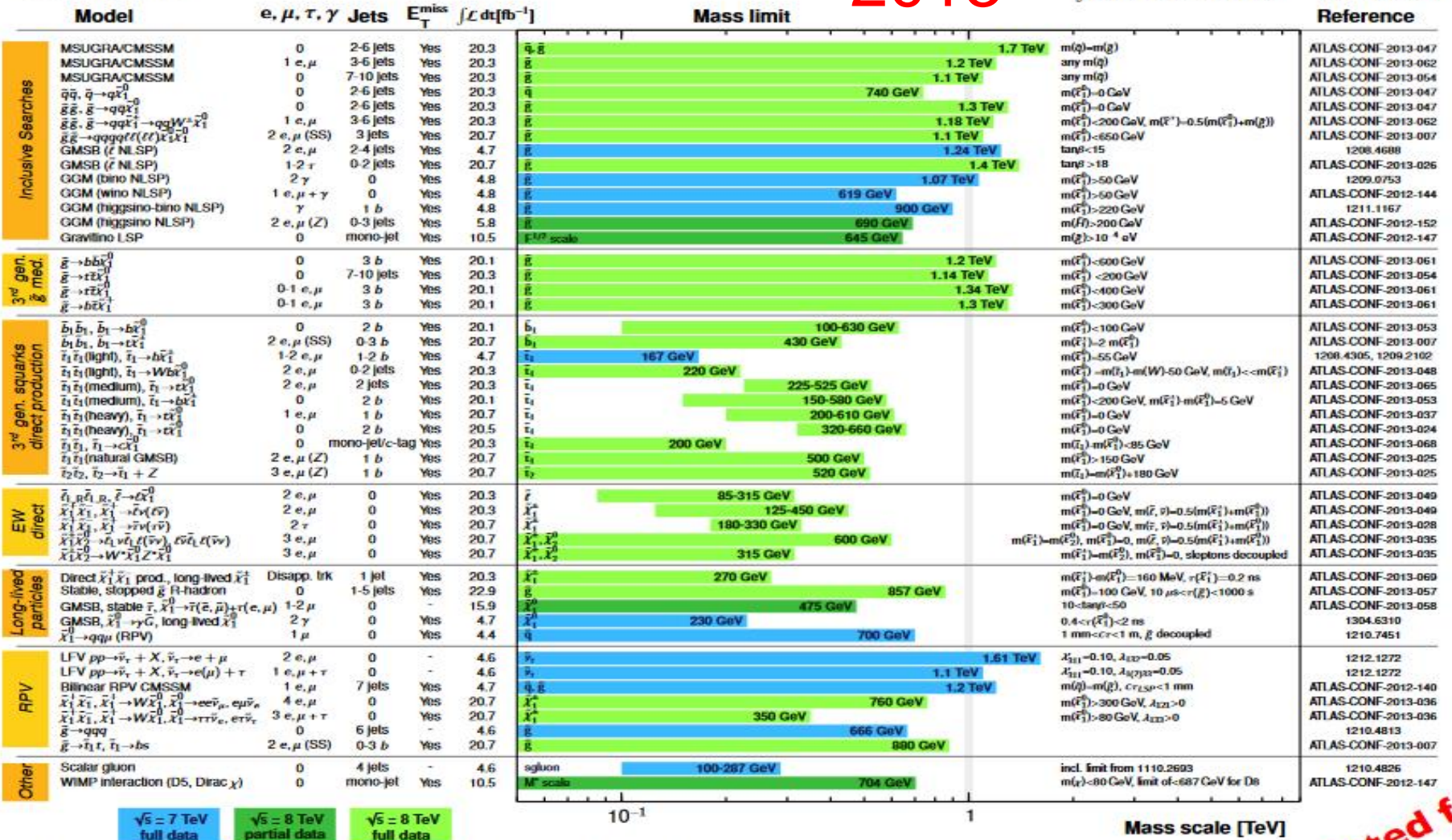
ATLAS SUSY Searches* - 95% CL Lower Limits

Status: EPS 2013

2013

ATLAS Preliminary

$$\int \mathcal{L} dt = (4.4 - 22.9) \text{ fb}^{-1} \quad \sqrt{s} = 7, 8 \text{ TeV}$$



updated for E

*Only a selection of the available mass limits on new states or phenomena is shown. All limits quoted are observed minus 1 σ theoretical signal cross section uncertainty.

• Strategy ATLAS SUSY group: cover a wide range of final states and processes

THE HUNT FOR SUSY – IN SUMMARY

2015

ATLAS SUSY Searches* - 95% CL Lower Limits

Status: July 2015

ATLAS Preliminary

$\sqrt{s} = 7, 8 \text{ TeV}$

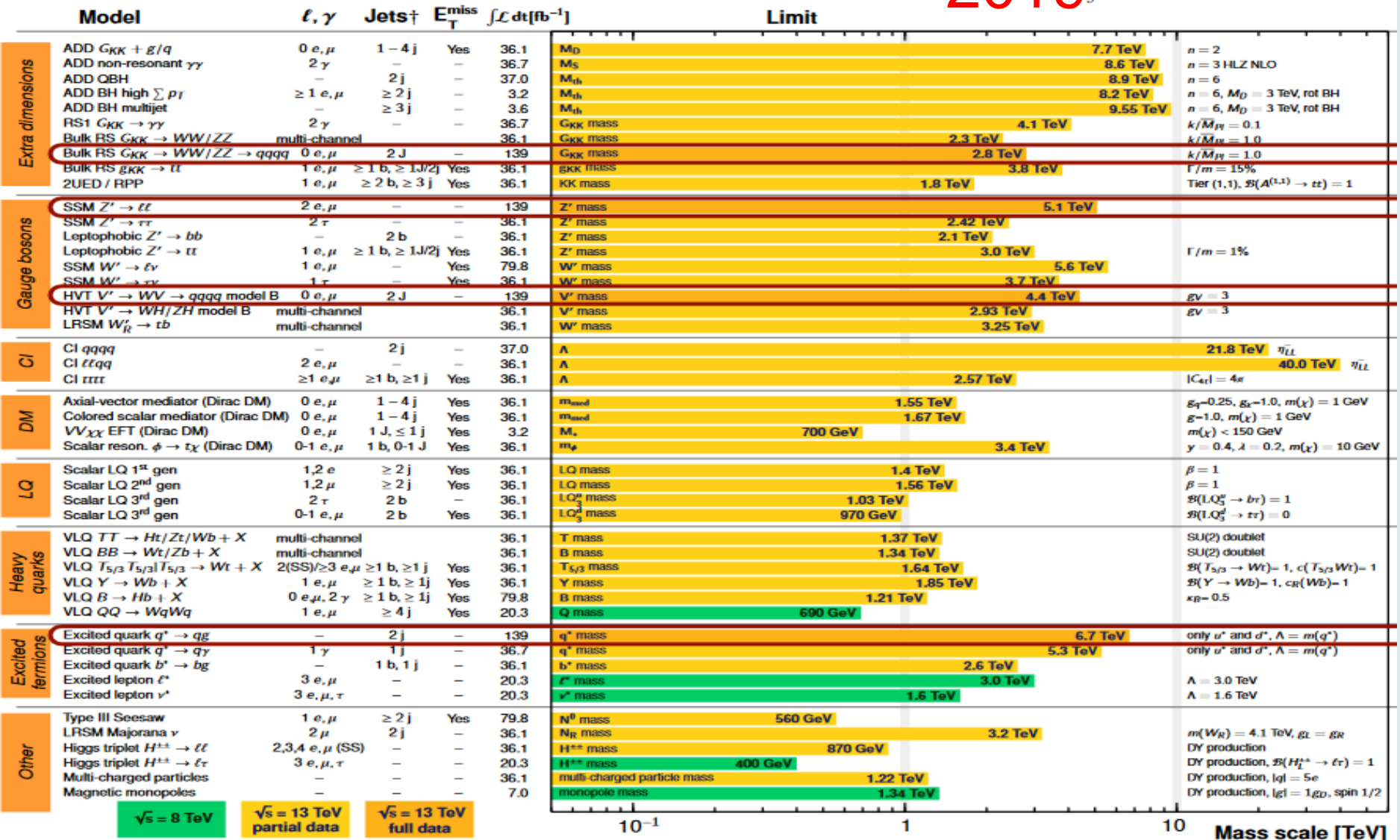
Model	e, μ, τ, γ	Jets	E_T^{miss}	$\int \mathcal{L} dL [\text{fb}^{-1}]$	Mass limit	$\sqrt{s} = 7 \text{ TeV}$	$\sqrt{s} = 8 \text{ TeV}$	Reference	
Inclusive Searches	MSUGRA/CMSSM	0-3 e, μ /1-2 τ	2-10 jets/3 b	Yes	20.3	\tilde{g}, \tilde{t}	1.8 TeV	$m(\tilde{g})-m(\tilde{t})$	
	$\tilde{q}\tilde{q}, \tilde{q} \rightarrow \tilde{q}\tilde{t}_1^0$	0	2-6 jets	Yes	20.3	\tilde{q}	850 GeV	$m(\tilde{t}_1^0)-0 \text{ GeV}, m(1^{\text{st}} \text{ gen. } \tilde{q})-m(2^{\text{nd}} \text{ gen. } \tilde{q})$	
	$\tilde{q}\tilde{q}, \tilde{q} \rightarrow \tilde{q}\tilde{t}_1^0$ (compressed)	mono-jet	1-3 jets	Yes	20.3	\tilde{q}	100-440 GeV	$m(\tilde{q})-m(\tilde{t}_1^0)<10 \text{ GeV}$	
	$\tilde{q}\tilde{q}, \tilde{q} \rightarrow \tilde{q}(\ell\ell/\nu\nu)\tilde{t}_1^0$	2 e, μ (off-Z)	2 jets	Yes	20.3	\tilde{q}	780 GeV	$m(\tilde{t}_1^0)-0 \text{ GeV}$	
	$\tilde{g}\tilde{g}, \tilde{g} \rightarrow \tilde{q}\tilde{q}\tilde{t}_1^0$	0	2-6 jets	Yes	20.3	\tilde{g}	1.33 TeV	$m(\tilde{t}_1^0)-0 \text{ GeV}$	
	$\tilde{g}\tilde{g}, \tilde{g} \rightarrow \tilde{q}\tilde{q}\tilde{t}_1^0 \rightarrow \tilde{q}\tilde{q}W^+\tilde{t}_1^0$	0-1 e, μ	2-6 jets	Yes	20	\tilde{g}	1.26 TeV	$m(\tilde{t}_1^0)<300 \text{ GeV}, m(\tilde{t}_1^0)-0.5(m(\tilde{t}_1^0)+m(\tilde{g}))$	
	$\tilde{g}\tilde{g}, \tilde{g} \rightarrow \tilde{q}\tilde{q}(\ell\ell/\nu\nu)\tilde{t}_1^0$	2 e, μ	0-3 jets	-	20	\tilde{g}	1.32 TeV	$m(\tilde{t}_1^0)<0 \text{ GeV}$	
	GMSB (\tilde{L} NLSP)	1-2 τ + 0-1 ℓ	0-2 jets	Yes	20.3	\tilde{g}	1.6 TeV	$\tan\beta > 20$	
	GGM (bino NLSP)	2 γ	-	Yes	20.3	\tilde{g}	1.29 TeV	$c\tau(\text{NLSP})<0.1 \text{ mm}$	
	GGM (higgsino-bino NLSP)	γ	1 b	Yes	20.3	\tilde{g}	1.3 TeV	$m(\tilde{t}_1^0)<900 \text{ GeV}, c\tau(\text{NLSP})<0.1 \text{ mm}, \mu < 0$	
3rd gen. $\tilde{g}, \text{ med.}$	$\tilde{g}\tilde{g}, \tilde{g} \rightarrow \tilde{b}\tilde{b}\tilde{t}_1^0$	0	3 b	Yes	20.3	\tilde{g}	1.25 TeV	$m(\tilde{t}_1^0)<400 \text{ GeV}$	
	$\tilde{g}\tilde{g}, \tilde{g} \rightarrow \tilde{t}\tilde{t}\tilde{t}_1^0$	0	7-10 jets	Yes	20.3	\tilde{g}	1.1 TeV	$m(\tilde{t}_1^0)<350 \text{ GeV}$	
	$\tilde{g}\tilde{g}, \tilde{g} \rightarrow \tilde{t}\tilde{t}\tilde{t}_1^0$	0-1 e, μ	3 b	Yes	20.1	\tilde{g}	1.34 TeV	$m(\tilde{t}_1^0)<400 \text{ GeV}$	
	$\tilde{g}\tilde{g}, \tilde{g} \rightarrow \tilde{b}\tilde{b}\tilde{t}_1^0$	0-1 e, μ	3 b	Yes	20.1	\tilde{g}	1.3 TeV	$m(\tilde{t}_1^0)<300 \text{ GeV}$	
	3rd gen. squarks direct production	$\tilde{t}_1\tilde{b}_1, \tilde{b}_1 \rightarrow \tilde{b}\tilde{t}_1^0$	0	2 b	Yes	20.1	\tilde{t}_1	100-620 GeV	$m(\tilde{t}_1^0)<90 \text{ GeV}$
		$\tilde{b}_1\tilde{b}_1, \tilde{b}_1 \rightarrow \tilde{t}\tilde{t}_1^0$	2 e, μ (SS)	0-3 b	Yes	20.3	\tilde{b}_1	275-440 GeV	$m(\tilde{t}_1^0)>2 m(\tilde{t}_1^0)$
		$\tilde{t}_1\tilde{t}_1, \tilde{t}_1 \rightarrow \tilde{b}\tilde{t}_1^0$	1-2 e, μ	1-2 b	Yes	4.7/20.3	\tilde{t}_1	110-167 GeV	$m(\tilde{t}_1^0) = 2m(\tilde{t}_1^0), m(\tilde{t}_1^0) > 55 \text{ GeV}$
		$\tilde{t}_1\tilde{t}_1, \tilde{t}_1 \rightarrow W\tilde{b}_1^0$ or \tilde{t}_1^0	0-2 e, μ	0-2 jets/1-2 b	Yes	20.3	\tilde{t}_1	90-191 GeV	$m(\tilde{t}_1^0) = 1 \text{ GeV}$
		$\tilde{t}_1\tilde{t}_1, \tilde{t}_1 \rightarrow \tilde{c}\tilde{t}_1^0$	0	mono-jet/ c -tag	Yes	20.3	\tilde{t}_1	90-240 GeV	$m(\tilde{t}_1^0)-m(\tilde{t}_1^0)<85 \text{ GeV}$
		$\tilde{t}_1\tilde{t}_1$ (natural GMSB)	2 e, μ (Z)	1 b	Yes	20.3	\tilde{t}_1	150-580 GeV	$m(\tilde{t}_1^0)>150 \text{ GeV}$
$\tilde{t}_1\tilde{t}_1, \tilde{t}_1 \rightarrow \tilde{t}\tilde{t}_1 + Z$		3 e, μ (Z)	1 b	Yes	20.3	\tilde{t}_1	290-600 GeV	$m(\tilde{t}_1^0)<200 \text{ GeV}$	
EW direct		$\tilde{t}_1\tilde{g}\tilde{t}_1, \tilde{t}_1 \rightarrow \tilde{t}\tilde{t}_1^0$	2 e, μ	0	Yes	20.3	\tilde{t}_1	90-325 GeV	$m(\tilde{t}_1^0)=0 \text{ GeV}$
		$\tilde{t}_1\tilde{t}_1, \tilde{t}_1 \rightarrow \tilde{t}\tilde{t}_1^0$	2 e, μ	0	Yes	20.3	\tilde{t}_1	140-465 GeV	$m(\tilde{t}_1^0)=0 \text{ GeV}, m(\tilde{t}_1^0, \nu) = 0.5(m(\tilde{t}_1^0) + m(\tilde{t}_1^0))$
		$\tilde{t}_1\tilde{t}_1, \tilde{t}_1 \rightarrow \tilde{t}\tilde{t}_1^0$	2 τ	-	Yes	20.3	\tilde{t}_1	100-350 GeV	$m(\tilde{t}_1^0)=0 \text{ GeV}, m(\tilde{t}_1^0, \nu) = 0.5(m(\tilde{t}_1^0) + m(\tilde{t}_1^0))$
	$\tilde{t}_1\tilde{t}_1, \tilde{t}_1 \rightarrow \tilde{t}\tilde{t}_1^0$	3 e, μ	0	Yes	20.3	$\tilde{t}_1, \tilde{t}_1^0$	700 GeV	$m(\tilde{t}_1^0)-m(\tilde{t}_1^0), m(\tilde{t}_1^0)=0, m(\tilde{t}_1^0, \nu) = 0.5(m(\tilde{t}_1^0) + m(\tilde{t}_1^0))$	
	$\tilde{t}_1\tilde{t}_1, \tilde{t}_1 \rightarrow W\tilde{t}_1^0, Z\tilde{t}_1^0$	2-3 e, μ	0-2 jets	Yes	20.3	$\tilde{t}_1, \tilde{t}_1^0$	420 GeV	$m(\tilde{t}_1^0)-m(\tilde{t}_1^0), m(\tilde{t}_1^0)=0, \text{ sleptons decoupled}$	
	$\tilde{t}_1\tilde{t}_1, \tilde{t}_1 \rightarrow W\tilde{t}_1^0, h\tilde{t}_1^0$	e, μ, γ	0-2 b	Yes	20.3	$\tilde{t}_1, \tilde{t}_1^0$	250 GeV	$m(\tilde{t}_1^0)-m(\tilde{t}_1^0), m(\tilde{t}_1^0)=0, \text{ sleptons decoupled}$	
	$\tilde{t}_1\tilde{t}_1, \tilde{t}_1 \rightarrow \tilde{t}\tilde{t}_1^0$	4 e, μ	0	Yes	20.3	$\tilde{t}_1, \tilde{t}_1^0$	620 GeV	$m(\tilde{t}_1^0)-m(\tilde{t}_1^0), m(\tilde{t}_1^0)=0, m(\tilde{t}_1^0, \nu) = 0.5(m(\tilde{t}_1^0) + m(\tilde{t}_1^0))$	
	GGM (wino NLSP) weak prod.	1 $e, \mu + \gamma$	-	Yes	20.3	\tilde{W}	124-361 GeV	$c\tau < 1 \text{ mm}$	
	Long-lived particles	Direct $\tilde{t}_1\tilde{t}_1, \tilde{t}_1 \text{ prod.}, \text{ long-lived } \tilde{t}_1^0$	Disapp. trk	1 jet	Yes	20.3	\tilde{t}_1	270 GeV	$m(\tilde{t}_1^0)-m(\tilde{t}_1^0) = 160 \text{ MeV}, \tau(\tilde{t}_1^0) = 0.2 \text{ ns}$
		Direct $\tilde{t}_1\tilde{t}_1, \tilde{t}_1 \text{ prod.}, \text{ long-lived } \tilde{t}_1^0$	dE/dx trk	-	Yes	18.4	\tilde{t}_1	482 GeV	$m(\tilde{t}_1^0)-m(\tilde{t}_1^0) = 160 \text{ MeV}, \tau(\tilde{t}_1^0) < 15 \text{ ns}$
Stable, stopped \tilde{t} R-hadron		0	1-5 jets	Yes	27.9	\tilde{t}	832 GeV	$m(\tilde{t}_1^0) = 100 \text{ GeV}, 10 \mu\text{s} < c\tau(\tilde{t}) < 1000 \text{ s}$	
Stable \tilde{g} R-hadron		trk	-	-	19.1	\tilde{g}	1.27 TeV	1411.6795	
GMSB, stable $\tilde{t}, \tilde{t}_1^0 \rightarrow \tilde{t}(\tilde{c}, \tilde{b}) + \tilde{t}_1^0(e, \mu)$		1-2 μ	-	-	19.1	\tilde{t}_1^0	537 GeV	$10 < \tan\beta < 50$	
GMSB, $\tilde{t}_1^0 \rightarrow \tilde{t}\tilde{t}_1^0$, long-lived \tilde{t}_1^0		2 γ	-	Yes	20.3	\tilde{t}_1^0	435 GeV	$2 < \tau(\tilde{t}_1^0) < 3 \text{ ns}, \text{ SPSB model}$	
$\tilde{g}\tilde{g}, \tilde{t}_1^0 \rightarrow \tilde{c}\tilde{c}\nu/\tilde{e}\nu/\mu\nu$		displ. $ee/\mu\mu$	-	-	20.3	\tilde{t}_1^0	1.0 TeV	$7 < c\tau(\tilde{t}_1^0) < 740 \text{ mm}, m(\tilde{g}) = 1.3 \text{ TeV}$	
GGM $\tilde{g}\tilde{g}, \tilde{t}_1^0 \rightarrow \tilde{c}\tilde{c}$		displ. vtx + jets	-	-	20.3	\tilde{t}_1^0	1.0 TeV	$6 < c\tau(\tilde{t}_1^0) < 480 \text{ mm}, m(\tilde{g}) = 1.1 \text{ TeV}$	
RPV		LFB $pp \rightarrow \tilde{t}_1, \tilde{t}_1^0, \tilde{X}, \tilde{t}_1^0 \rightarrow \tilde{q}\mu/\tau/\mu$	-	-	-	20.3	\tilde{t}_1	1.7 TeV	$A_{311} = 0.11, A_{132}, A_{133} = 0.07$
		Bilinear RPV CMSSM	2 e, μ (SS)	0-3 b	Yes	20.3	$\tilde{t}_1, \tilde{t}_1^0$	1.35 TeV	$m(\tilde{g})-m(\tilde{g}), c\tau_{\text{LSP}} < 1 \text{ mm}$
	$\tilde{t}_1\tilde{t}_1, \tilde{t}_1 \rightarrow W\tilde{t}_1^0, \tilde{t}_1 \rightarrow \tilde{c}\tilde{c}\nu, \tilde{e}\mu\nu, \tilde{e}\mu\nu$	4 e, μ	-	Yes	20.3	$\tilde{t}_1, \tilde{t}_1^0$	750 GeV	$m(\tilde{t}_1^0) > 0.2 \times m(\tilde{t}_1^0), A_{121} \neq 0$	
	$\tilde{t}_1\tilde{t}_1, \tilde{t}_1 \rightarrow W\tilde{t}_1^0, \tilde{t}_1 \rightarrow \tau\tau\nu, \tilde{e}\mu\nu, \tilde{e}\mu\nu$	3 $e, \mu + \tau$	-	Yes	20.3	$\tilde{t}_1, \tilde{t}_1^0$	450 GeV	$m(\tilde{t}_1^0) > 0.2 \times m(\tilde{t}_1^0), A_{133} \neq 0$	
	$\tilde{g}\tilde{g}, \tilde{g} \rightarrow \tilde{q}\tilde{q}\tilde{t}_1^0$	0	6-7 jets	-	20.3	\tilde{g}	917 GeV	$\text{BR}(\tilde{g})-\text{BR}(\tilde{g})-\text{BR}(\tilde{g})=0\%$	
	$\tilde{g}\tilde{g}, \tilde{g} \rightarrow \tilde{q}\tilde{q}\tilde{t}_1^0, \tilde{t}_1^0 \rightarrow \tilde{q}\tilde{q}\tilde{t}_1^0$	0	6-7 jets	-	20.3	\tilde{g}	870 GeV	$m(\tilde{t}_1^0) = 600 \text{ GeV}$	
	$\tilde{g}\tilde{g}, \tilde{g} \rightarrow \tilde{t}\tilde{t}\tilde{t}_1^0, \tilde{t}_1^0 \rightarrow \tilde{b}\tilde{s}$	2 e, μ (SS)	0-3 b	Yes	20.3	\tilde{g}	850 GeV	1404.250	
	$\tilde{t}_1\tilde{t}_1, \tilde{t}_1 \rightarrow \tilde{b}\tilde{s}$	0	2 jets + 2 b	-	20.3	\tilde{t}_1	100-308 GeV	ATLAS CONF-2015-026	
	$\tilde{t}_1\tilde{t}_1, \tilde{t}_1 \rightarrow \tilde{b}\tilde{c}$	2 e, μ	2 b	-	20.3	\tilde{t}_1	0.4-1.0 TeV	ATLAS CONF-2015-015	
	Other	Scalar charm, $\tilde{c} \rightarrow \tilde{c}\tilde{t}_1^0$	0	2 c	Yes	20.3	\tilde{c}	490 GeV	$m(\tilde{t}_1^0) < 200 \text{ GeV}$

*Only a selection of the available mass limits on new states or phenomena is shown. All limits quoted are observed minus 1 σ theoretical signal cross section uncertainty.

ATLAS Exotics Searches* - 95% CL Upper Exclusion Limits

Status: March 2019

2019 $\int \mathcal{L} dt = (3.2 - 139) \text{ fb}^{-1}$ ATLAS



Model	Signature	$\int L dt$ [fb ⁻¹]	Mass limit	Reference			
Inclusive Searches	$\tilde{q}\tilde{q}, \tilde{q} \rightarrow q\tilde{\chi}_1^0$	0 e, μ mono-jet	E_T^{miss} 36.1 E_T^{miss} 36.1	\tilde{q} [2x, 8x Degen] 0.9 \tilde{q} [1x, 8x Degen] 1.55	$m(\tilde{\chi}_1^0) < 100$ GeV $m(\tilde{q}) - m(\tilde{\chi}_1^0) = 5$ GeV	1712.02332 1711.03301	
	$\tilde{g}\tilde{g}, \tilde{g} \rightarrow q\tilde{q}\tilde{\chi}_1^0$	0 e, μ 2-6 jets	E_T^{miss} 36.1	\tilde{g} 2.0 Forbidden 0.95-1.6	$m(\tilde{\chi}_1^0) < 200$ GeV $m(\tilde{g}) = 900$ GeV	1712.02332 1712.02332	
	$\tilde{g}\tilde{g}, \tilde{g} \rightarrow q\tilde{q}(\ell\ell)\tilde{\chi}_1^0$	3 e, μ $ee, \mu\mu$	4 jets 2 jets	E_T^{miss} 36.1 E_T^{miss} 36.1	\tilde{g} 1.85 \tilde{g} 1.2	$m(\tilde{\chi}_1^0) < 800$ GeV $m(\tilde{g}) - m(\tilde{\chi}_1^0) = 50$ GeV	1706.03731 1805.11381
	$\tilde{g}\tilde{g}, \tilde{g} \rightarrow qqWZ\tilde{\chi}_1^0$	0 e, μ SS e, μ	7-11 jets 6 jets	E_T^{miss} 36.1 E_T^{miss} 139	\tilde{g} 1.8 \tilde{g} 1.15	$m(\tilde{\chi}_1^0) < 400$ GeV $m(\tilde{g}) - m(\tilde{\chi}_1^0) = 200$ GeV	1708.02794 ATLAS-CONF-2019-015
	$\tilde{g}\tilde{g}, \tilde{g} \rightarrow t\tilde{\chi}_1^0$	0-1 e, μ SS e, μ	3 b 6 jets	E_T^{miss} 79.8 E_T^{miss} 139	\tilde{g} 2.25 \tilde{g} 1.25	$m(\tilde{\chi}_1^0) < 200$ GeV $m(\tilde{g}) - m(\tilde{\chi}_1^0) = 300$ GeV	ATLAS-CONF-2018-041 ATLAS-CONF-2019-015
	3 rd gen. squarks direct production	$\tilde{b}_1\tilde{b}_1, \tilde{b}_1 \rightarrow b\tilde{\chi}_1^0/\tilde{\nu}_\tau^+$	Multiple Multiple Multiple	36.1 36.1 139	Forbidden 0.9 Forbidden 0.58-0.82 Forbidden 0.74	$m(\tilde{\nu}_\tau^+) = 300$ GeV, $BR(\tilde{b}_1^+) = 1$ $m(\tilde{\chi}_1^0) = 300$ GeV, $BR(\tilde{b}_1^+) = BR(\tilde{\nu}_\tau^+) = 0.5$ $m(\tilde{\chi}_1^0) = 200$ GeV, $m(\tilde{\nu}_\tau^+) = 300$ GeV, $BR(\tilde{b}_1^+) = 1$	1708.09266, 1711.03301 1708.09266 ATLAS-CONF-2019-015
		$\tilde{b}_1\tilde{b}_1, \tilde{b}_1 \rightarrow b\tilde{\chi}_2^0 \rightarrow b\tilde{b}\tilde{\chi}_1^0$	0 e, μ 6 b	E_T^{miss} 139	Forbidden 0.23-0.48 \tilde{b}_1 0.23-1.35	$\Delta m(\tilde{\chi}_2^0, \tilde{\chi}_1^0) = 130$ GeV, $m(\tilde{\chi}_1^0) = 100$ GeV $\Delta m(\tilde{\chi}_2^0, \tilde{\chi}_1^0) = 130$ GeV, $m(\tilde{\chi}_1^0) = 0$ GeV	SUSY-2018-31 SUSY-2018-31
		$\tilde{t}_1\tilde{t}_1, \tilde{t}_1 \rightarrow Wb\tilde{\chi}_1^0$ or $t\tilde{\chi}_1^0$	0-2 e, μ 0-2 jets/1-2 b	E_T^{miss} 36.1	\tilde{t}_1 1.0	$m(\tilde{\chi}_1^0) = 1$ GeV	1506.08616, 1709.04183, 1711.11520
$\tilde{t}_1\tilde{t}_1, \tilde{t}_1 \rightarrow Wb\tilde{\chi}_1^0$		1 e, μ 3 jets/1 b	E_T^{miss} 139	\tilde{t}_1 0.44-0.59	$m(\tilde{\chi}_1^0) = 400$ GeV	ATLAS-CONF-2019-017	
$\tilde{t}_1\tilde{t}_1, \tilde{t}_1 \rightarrow \tau\tilde{b}\nu, \tilde{\tau}_1 \rightarrow \tau\tilde{G}$		1 $\tau + 1 e, \mu, \tau$ 2 jets/1 b	E_T^{miss} 36.1	\tilde{t}_1 1.16	$m(\tilde{\tau}_1) = 800$ GeV	1803.10178	
$\tilde{t}_1\tilde{t}_1, \tilde{t}_1 \rightarrow c\tilde{\chi}_1^0/\tilde{c}\tilde{c}, \tilde{c} \rightarrow c\tilde{\chi}_1^0$		0 e, μ 2 c	E_T^{miss} 36.1	\tilde{t}_1 0.85 \tilde{t}_1 0.46 \tilde{t}_1 0.43	$m(\tilde{\chi}_1^0) = 0$ GeV $m(\tilde{t}_1, \tilde{c}) - m(\tilde{\chi}_1^0) = 50$ GeV $m(\tilde{t}_1, \tilde{c}) - m(\tilde{\chi}_1^0) = 50$ GeV	1805.01649 1805.01649 1711.03301	
$\tilde{t}_2\tilde{t}_2, \tilde{t}_2 \rightarrow \tilde{t}_1 + h$		1-2 e, μ 4 b	E_T^{miss} 36.1	\tilde{t}_2 0.32-0.88	$m(\tilde{\chi}_1^0) = 0$ GeV, $m(\tilde{t}_1) - m(\tilde{\chi}_1^0) = 180$ GeV	1706.03986	
$\tilde{t}_2\tilde{t}_2, \tilde{t}_2 \rightarrow \tilde{t}_1 + Z$		3 e, μ 1 b	E_T^{miss} 139	Forbidden 0.86	$m(\tilde{\chi}_1^0) = 360$ GeV, $m(\tilde{t}_1) - m(\tilde{\chi}_1^0) = 40$ GeV	ATLAS-CONF-2019-016	
EW direct		$\tilde{\chi}_1^+\tilde{\chi}_2^0$ via WZ	2-3 e, μ $ee, \mu\mu$	E_T^{miss} 36.1 E_T^{miss} 139	$\tilde{\chi}_1^+\tilde{\chi}_2^0$ 0.6 $\tilde{\chi}_1^+\tilde{\chi}_2^0$ 0.205	$m(\tilde{\chi}_1^0) = 0$ $m(\tilde{\chi}_2^0) - m(\tilde{\chi}_1^0) = 5$ GeV	1403.5294, 1806.02293 ATLAS-CONF-2019-014
		$\tilde{\chi}_1^+\tilde{\chi}_1^0$ via WW	2 e, μ E_T^{miss} 139	$\tilde{\chi}_1^+$ 0.42	$m(\tilde{\chi}_1^0) = 0$	ATLAS-CONF-2019-008	
	$\tilde{\chi}_1^+\tilde{\chi}_2^0$ via Wh	0-1 e, μ 2 $b/2 \gamma$	E_T^{miss} 139	Forbidden 0.74	$m(\tilde{\chi}_1^0) = 70$ GeV	ATLAS-CONF-2019-019, ATLAS-CONF-2019-XYZ	
	$\tilde{\chi}_1^+\tilde{\chi}_1^0$ via $\tilde{\ell}_L/\tilde{\nu}$	2 e, μ E_T^{miss} 139	$\tilde{\chi}_1^+$ 1.0	$m(\tilde{\ell}, \tilde{\nu}) = 0.5(m(\tilde{\chi}_1^0) + m(\tilde{\ell}_1^0))$	ATLAS-CONF-2019-008		
	$\tilde{\tau}_1, \tilde{\tau} \rightarrow \tau\tilde{\chi}_1^0$	2 τ E_T^{miss} 139	$\tilde{\tau}$ 0.16-0.3 $\tilde{\tau}$ [R _L , R _L] 0.12-0.39	$m(\tilde{\chi}_1^0) = 0$	ATLAS-CONF-2019-018		
	$\tilde{\ell}_{L,R}, \tilde{\ell}_{L,R}, \tilde{\ell} \rightarrow \ell\tilde{\chi}_1^0$	2 e, μ 0 jets E_T^{miss} 139	$\tilde{\ell}$ 0.7 $\tilde{\ell}$ 0.256	$m(\tilde{\chi}_1^0) = 0$	ATLAS-CONF-2019-008		
	$\tilde{H}\tilde{H}, \tilde{H} \rightarrow h\tilde{G}/Z\tilde{G}$	0 e, μ $\geq 3 b$ E_T^{miss} 36.1	\tilde{H} 0.13-0.23 \tilde{H} 0.29-0.88	$m(\tilde{H}) - m(\tilde{\chi}_1^0) = 10$ GeV	1806.04030 1804.03602		
	$\tilde{H}\tilde{H}, \tilde{H} \rightarrow h\tilde{G}/Z\tilde{G}$	4 e, μ 0 jets E_T^{miss} 36.1	\tilde{H} 0.3	$BR(\tilde{H}^0 \rightarrow h\tilde{G}) = 1$ $BR(\tilde{H}^0 \rightarrow Z\tilde{G}) = 1$	1806.04030 1804.03602		
	Long-lived particles	Direct $\tilde{\chi}_1^+\tilde{\chi}_1^0$ prod., long-lived $\tilde{\chi}_1^+$	Disapp. trk 1 jet	E_T^{miss} 36.1	$\tilde{\chi}_1^+$ 0.46 $\tilde{\chi}_1^+$ 0.15	Pure Wino Pure Higgsino	1712.02118 ATL-PHYS-PUB-2017-019
		Stable \tilde{g} R-hadron	Multiple	36.1	\tilde{g} 2.0		1902.01636, 1808.04095
Metastable \tilde{g} R-hadron, $\tilde{g} \rightarrow q\tilde{q}\tilde{\chi}_1^0$		Multiple	36.1	\tilde{g} [r(τ) = 10 ns, 0.2 ns] 2.05, 2.4	$m(\tilde{\chi}_1^0) = 100$ GeV	1710.04901, 1808.04095	
RPV	LFV $\tilde{p}\tilde{p} \rightarrow \tilde{\nu}_\tau + X, \tilde{\nu}_\tau \rightarrow e\mu/\ell\mu/\mu\tau$	$e\mu, e\tau, \mu\tau$	3.2	$\tilde{\nu}_\tau$ 1.9	$\lambda'_{511} = 0.11, \lambda'_{132/133/233} = 0.07$	1607.08079	
	$\tilde{\chi}_1^+\tilde{\chi}_1^0/\tilde{\chi}_2^0 \rightarrow WW/Z\ell\ell/\nu\nu$	4 e, μ 0 jets	E_T^{miss} 36.1	$\tilde{\chi}_1^+\tilde{\chi}_2^0$ [A ₁₃₃ ≠ 0, A ₁₂₄ ≠ 0] 0.82, 1.33	$m(\tilde{\chi}_1^0) = 100$ GeV	1804.03602	
	$\tilde{g}\tilde{g}, \tilde{g} \rightarrow q\tilde{q}\tilde{\chi}_1^0, \tilde{\chi}_1^0 \rightarrow qq\tilde{q}$	4-5 large-R jets Multiple	36.1 36.1	\tilde{g} [m(χ ₁ ⁰) = 200 GeV, 1100 GeV] 1.3, 1.9 \tilde{g} [λ'_{112} = 2e-4, 2e-5] 1.05, 2.0	Large A'_{112} $m(\tilde{\chi}_1^0) = 200$ GeV, bino-like	1804.03568 ATLAS-CONF-2018-003	
	$\tilde{H}, \tilde{t} \rightarrow t\tilde{\chi}_1^0, \tilde{\chi}_1^0 \rightarrow tbs$	Multiple	36.1	\tilde{H} [λ'_{233} = 2e-4, 1e-2] 0.55, 1.05	$m(\tilde{\chi}_1^0) = 200$ GeV, bino-like	ATLAS-CONF-2018-003	
	$\tilde{t}_1\tilde{t}_1, \tilde{t}_1 \rightarrow bs$	2 jets + 2 b	36.7	\tilde{t}_1 [qq, bs] 0.42, 0.61		1710.07171	
	$\tilde{t}_1\tilde{t}_1, \tilde{t}_1 \rightarrow q\ell$	2 e, μ 2 b	36.1	\tilde{t}_1 0.4-1.45	$BR(\tilde{t}_1 \rightarrow b\ell/\nu\mu) > 20\%$	1710.05544	
	$\tilde{t}_1\tilde{t}_1, \tilde{t}_1 \rightarrow q\ell$	1 μ DV	136	\tilde{t}_1 [1e-10 < λ'_{234} < 1e-8, 3e-10 < λ'_{234} < 3e-9] 1.0, 1.6	$BR(\tilde{t}_1 \rightarrow q\mu) = 100\%, \cos\theta = 1$	ATLAS-CONF-2019-006	

*Only a selection of the available mass limits on new states or phenomena is shown. Many of the limits are based on simplified models, c.f. refs. for the assumptions made.

10⁻¹ 1 Mass scale [TeV]

Big Bang

Undersökningen av de minsta partiklarna och strävan mot en global beskrivning av alla fysikaliska krafter har direkt anknytning till vår förståelse av hur universum skapades i Big Bang.

10^{-43} s Inflation

10^{-34} s Fria kvarkar

10^{-10} s Hadroner formas

1 s - 3 min Heliumkärnor formas

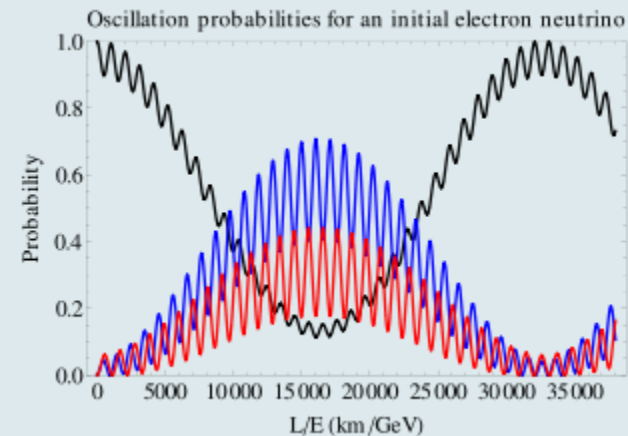
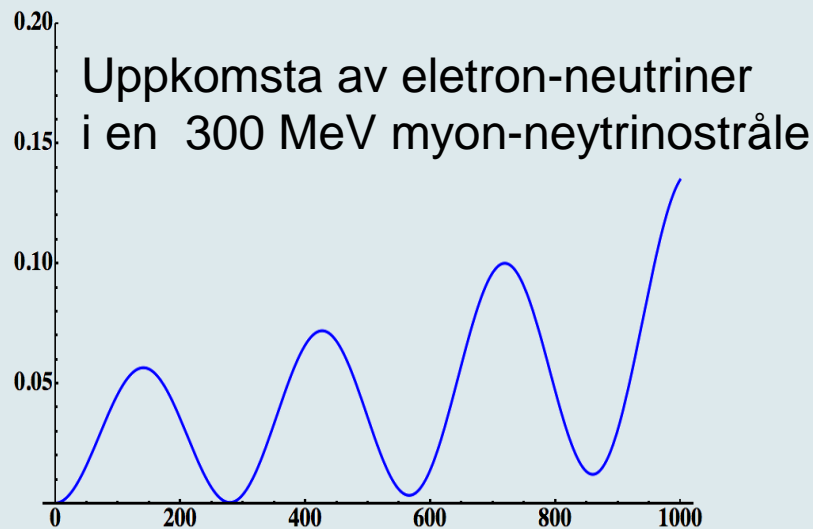
$300 \cdot 10^3$ år Atomer formas -
ljustransport möjlig

10^9 år Gravitationen drar
samman atomer till moln

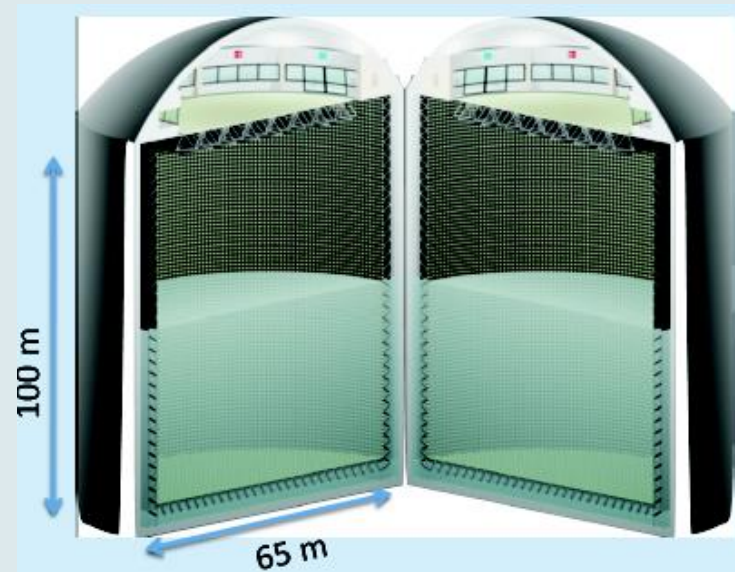
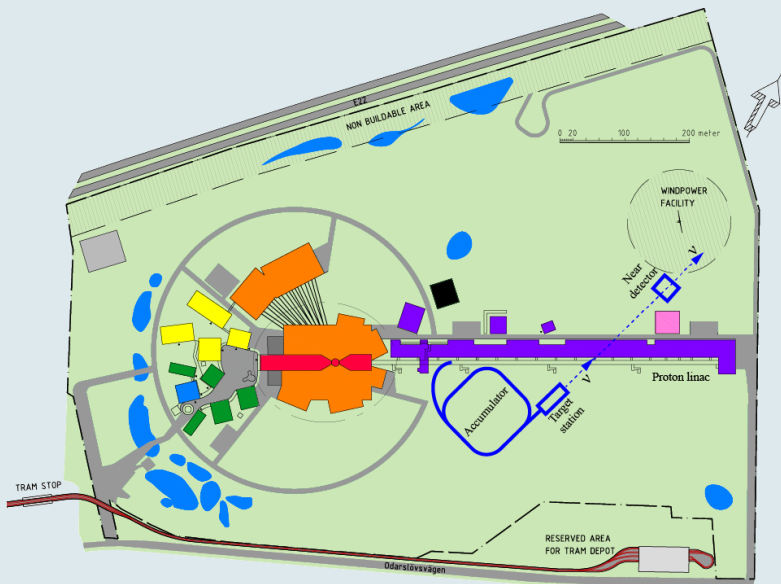
$15 \cdot 10^9$ år Idag



Genom den enorma energikoncentrationen i Big Bang skapades ur vakuumfälten exakt lika stora mängder materia och anti-materia. Idag ser vi bara materia omkring oss, ingen anti-materia. Detta kan inte förklaras av Standardmodellen. För 20 år sedan upptäcktes att neutriner oscillerar och att de därmed har massa vilket belönats med 1915 års Nobel-pris. Inte heller det kan förklaras med standardmodellen.



Jag har föreslagit att ESS' kraftfulla linjäraccelerator i Lund skall användas för att generera en världsunikt intensiv neutrinostråle för experiment som skulle kunna sprida ljus över frågan om materiens dominans över anti-materian i universum. Neutrino-strålen skall riktas från Lund mot en 1 miljon kubikmeter stor vatten-Cherenkov-detektor i Garpeneberg-gruvan i dalarna , 1 km under jord.



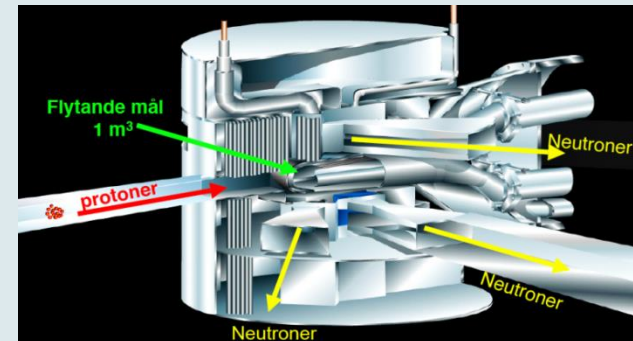
Högenergifysikens Omedelbara tillämpningar

De teknologier vi utvecklar inom högenergifysikenspelar ett successivt ökande, viktig roll också för

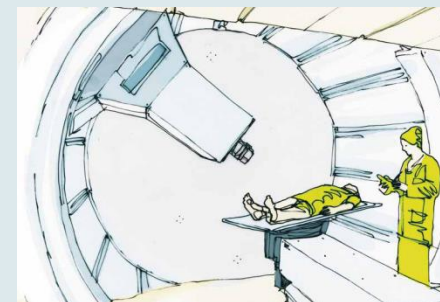
- andra vetenskaper, t.ex. för synkrotronljus-forskning (MAXLAB, SESAME) och spallations-neutronforskning (ESS) inom materialvetenskap och biologi
- medicinsk diagnos och behandling i våra sjukhus, t.ex. För PET-kameror och protonterapi (SKANDION) av cancer,
- kvalitetskontroll och processmetoder inom industrin, t.ex. för strålgenomlysning för detektion av sprickor i stora mekaniska strukturer och elektronstrålesvetsning samt



SESAME I MELLANÖSTERN

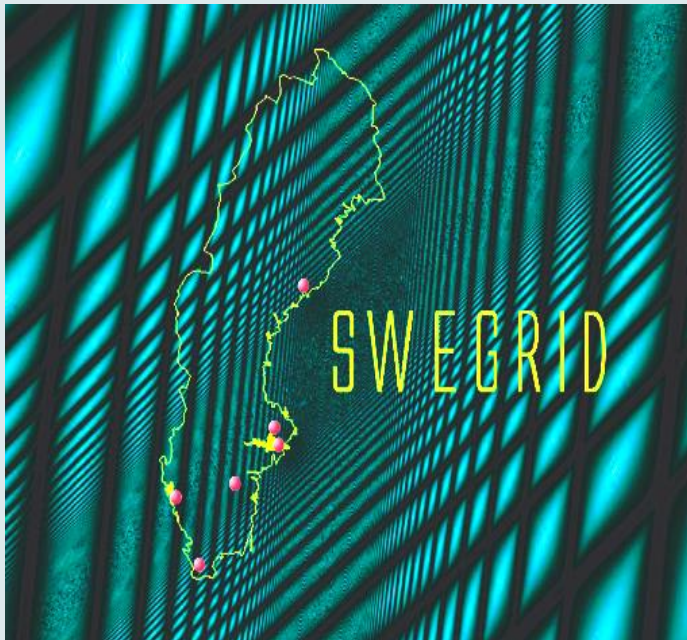


ESS I LUND



SKANDION I UPPSALA

-tillämpningar i samhället i stort,
t.ex. World Wide Web och,
nu senast,
GRID-teknologin



Varför gör vi allt detta?

- Det konventionella svaret är: av *nyfikenhet* .
- Grundforskning kallas ofta för just "nyfikenhetsforskning".
- Men inge forskning kan bedrivas utan nyfikenhet.
- Nyfikenhet är en förutsättning för *all* forskning, för såväl grundforskning som tillämpad forskning.
- Man kan alltså inte karaktärisera högenerifysik-forskningen i förhållande till annan tillämpad forskning genom att kalla den för "nyfikenhetsforskning" med mindre än att man menar att den bedrivs med det *enda* motivet, ändamålet och syftet att tillfredsställa nyfikenhet.

Vilket är högenergifysikens ändamål?

- Med tanke på de omfattande personliga, materiella och ekonomiska resurser som investeras i högenergifysikforskningen är det inte rimligt att tänka sig att det enda motivet, ändamålet och syftet med verksamheten skulle vara att tillfredsställa nyfikenhet.
- Frågan blir då vilket högenergifysikens motiv, ändamål och syfte är?

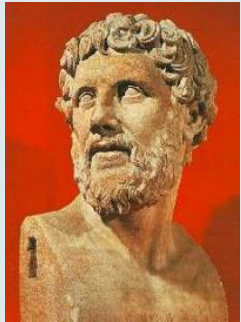
Vid fronten mot det okända

- Den experimentella högenergifysikforskningen syftar till att upptäcka helt nya fysikaliska fenomen vilka kan leda till en förståelse av ett gemensamt ursprung för den elektrosvaga och starka kraften och, ytterst, även för gravitationen.
- Forskningen sker i mikrokosmos vid fronten mot det helt okända och därmed, genom den nuvarande teorin om universums uppkomst ur Big Bang, även till makrokosmos.
- En sådan front mot det helt okända har funnits inom den moderna empiriskt baserade fysikforskningen sedan dess begynnelse.

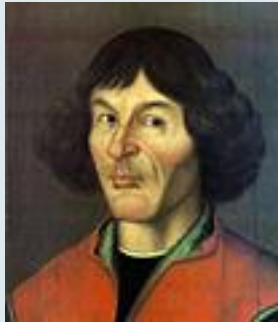
Innan Kopernikus, Galilei och Kepler

- Innan den moderna, empiriskt baserade fysiken ansågs källan till kunskap om den fysikaliska verkligheten vara
 - intuitiva spekulationer baserade på vad man såg omkring sig i världen, utan krav på reproducibla experiment och kvantitativa mätningar (observationer inom astronomin utgjorde ett tidigt och viktigt undantag)
 - tolkning av auktoritativa skrifter (i västerlandet Aristoteles och Bibeln)
- Dessa föreställningar fick fr.o.m. renässansen svårbemästrad konkurrens av nya idéer framförda av fysiker som Kopernikus, Galilei, Kepler m.fl.

Framtiden...



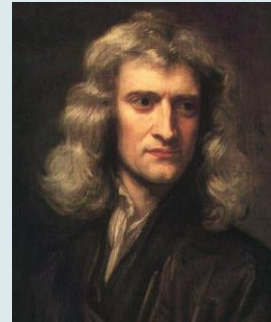
Demokritos



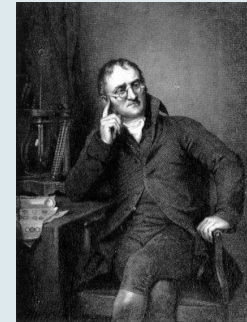
Kopernikus



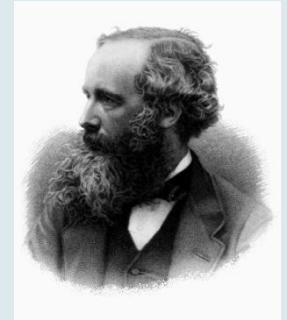
Galileo



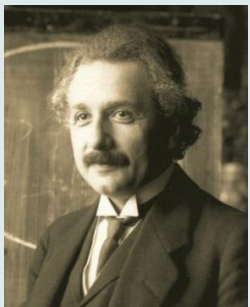
Newton



Dalton



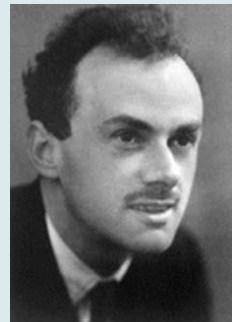
Maxwell



Einstein



Schrödinger



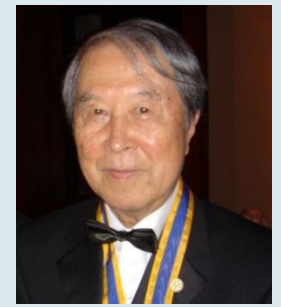
Dirac



Feynman



Salam



Nambu

Nya paradigmer

- Högenergifysiken utgör alltså i viss mening fortsättningen på det hittills mycket fruktbara projekt som består i att utvidga vår kunskap om den fysikaliska verkligheten inom domäner där vi hittills inte kunnat göra några direkta mätningar alls.
- Den egentliga förhoppningen är inte att bekräfta Standardmodellen utan att kunna visa var den inte stämmer. Det intressant är att finna ut hur avvikelserna ser ut för att därur kunna ställa upp nya grundläggande paradigmer för/beskrivningar av den fysikaliska verkligheten.
- Fysiken har, som vi såg, sedan renässansen genomgått ett antal paradigmskift/omvälvningar

Newton och den franska revolutionen

- Dessa fysikens paradigmskift/omvälvningar har utövat stark påverkan, inte bara på de materiella förutsättningarna för vårt samhälle, utan även i högsta grad de allmänintellektuella och kulturella.
- T.ex. gjorde Newtons teori intryck på hela sin samtid. Bl.a. förstärkte den idén att människan med sitt förnuft kan förstå och förutse vad som skall ske och därmed att hon kan också forma den värld hon lever i. I vissa fall ledde denna ökade tro på människans förmåga till övertro, t.ex. vad avser förmågan att snabbt omforma vårt samhälle på till synes rationella grunder. Den franska revolutionen kan sägas vara ett uttryck för en sådan övertro.

Naturvetenskapen och samhällslivet

- Arternas uppkomst i Darwins evolutionsteori,
- relativiteten i Einsteins gravitationsteori,
- Heisenbergs osäkerhetsrelationen i kvantmekaniken och
- arvsmassans kodning i DNA

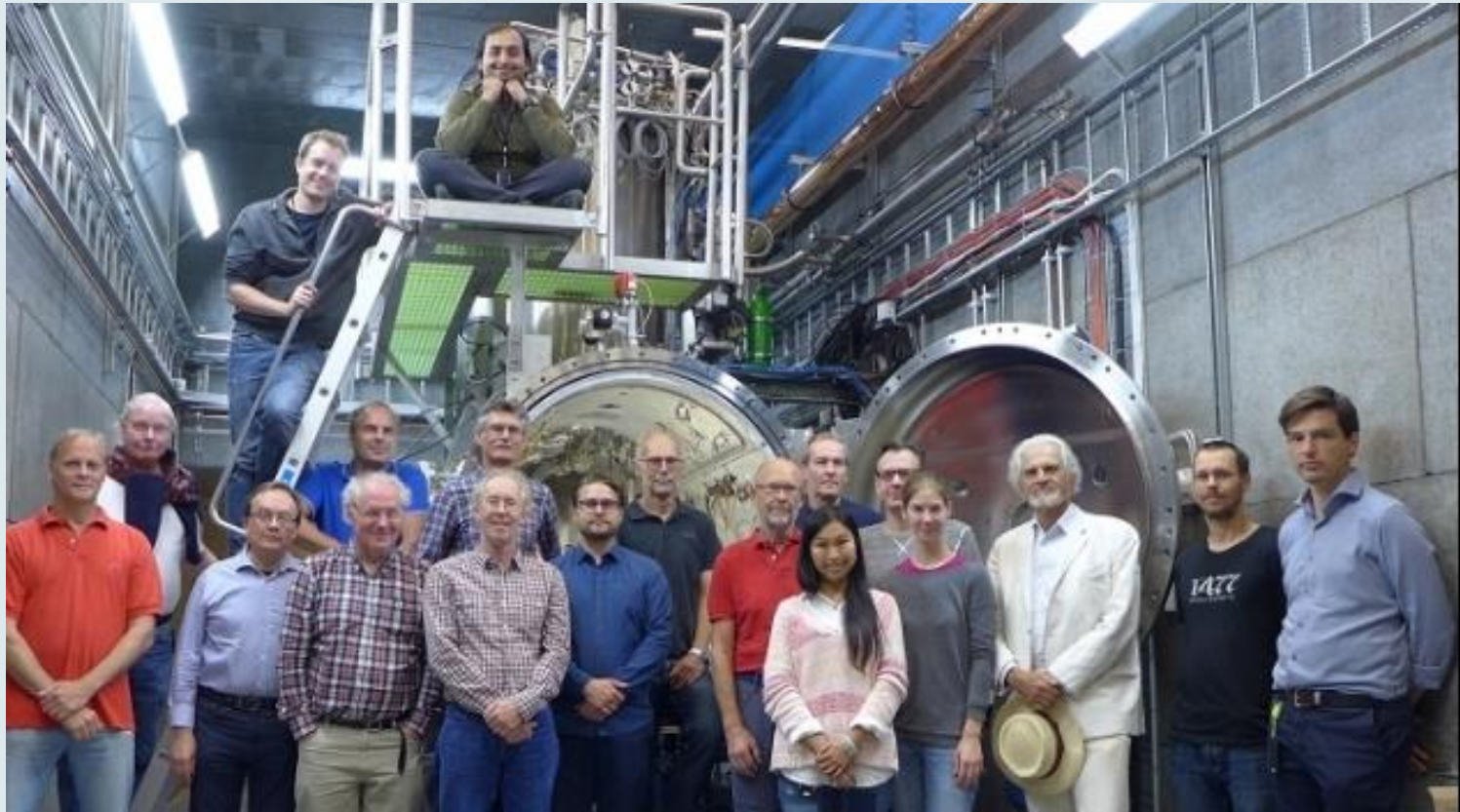
är andra naturvetenskapligt framsteg som haft omvälvande inflytande på våra föreställningar om människans villkor och därmed på samhällslivet

- På liknande sätt kan framtida upptäckter av högre symmetrier i naturen, extra rumsdimensioner och ett gemensamt ursprung för naturkrafternas tänkas utveckla vår syn på verkligheten och därmed påverka vårt samhällsliv.

Den teknologiska utvecklingen

- Till detta kommer att utvecklingen av all modern teknologi har, via den tillämpade forskningen eller direkt, sina rötter i den naturvetenskapliga grundforskningen landvinningar.
- Den teknologiska utvecklingen, är liksom den intellektuella kulturella utvecklingen, på gott och ont.
- Men vem kan egentligen föreställa sig att gå tillbaka, eller ens hålla tillbaka, denna utveckling?
- Naturvetenskapens historia visar oss vikten av i att delta vid forskningens frontlinjen mot det helt okända. Det berikar vår kultur. Det ger oss också bättre möjligheten att förstå helt nya forskningsresultat på ett tidigt stadium och att därmed kunna bidra till att de nya upptäckterna i sin förlängning tillämpas på ett konstruktivt sätt.

FREIA-laboratoriet vid Uppsala universitet utvecklar och testar ny acceleratorutrustning för ESS och CERN I samarbete med svensk industri - i detta samrbete uppstår nya innovationer med tillämpningar inom hälsovård, energiteknik, radiokommunikation m.m.



Varför forskar vi i grundläggande fysik?

- ▣ **Äventyret** ...för att utöka och vidareutveckla vår kunskap om den värld vi lever i
- ▣ **Innovationerna** ...för att i nutid (inom 5-20 år) utveckla och tillämpa helt nya teknologier och innovationer att användas i vårt vardagsliv
- ▣ **Framtiden** ...för att lägga grunden för och stimulera den långsiktiga materiella och intellektuella utvecklingen av den mänskliga kulturen

Kunskapens äpple

